

第三章 经典系统：理想气体

1. 经典理想气体	1
1.1. 配分函数与热力学量	1
1.2. 再谈经典理想气体的熵	2
1.3. 麦克斯韦速率分布	2
2. 理想玻色气体	4
2.1. 玻色爱因斯坦分布	4
2.2. 理想玻色气体	4
2.3. 高温展开与量子修正	6
2.4. 态密度及其局限性	8
2.5. 玻色爱因斯坦凝聚	10
3. 理想费米气体	13
3.1. 费米狄拉克分布	13
3.2. 理想费米气体的配分函数与热力学函数	14
3.3. 高温展开与量子修正	15
3.4. 零温下的费米面与费米简并压	16
3.5. 低温极限	18

本章分别讨论了经典条件和量子条件下的无相互作用粒子，其中量子条件又分为玻色气体和费米气体两种情况。本章的讨论建立在第二章系综理论的基础上，是高度流程化的：先搞清楚系统如何标定微观状态，每种微观状态的能量是多少，再写出系统的配分函数和特性函数，再利用特性函数与热力学关系导出热力学量（熵，平均能量，粒子数，状态方程等）。对于量子条件下的理想气体，还分别讨论了高温和低温的行为。其中对于玻色气体，在低温下由态密度的局限性引出玻色爱因斯坦凝聚。

1. 经典理想气体

1.1. 配分函数与热力学量

对于理想气体，一个单原子分子的能量为 $\varepsilon_i = \frac{\vec{p}_i^2}{2m_i}$ ，考虑一个无相互作用的 N 粒子系统，可以写出配分函数：

$$z = \frac{1}{h^{3N}} \int d^3\vec{x}_1 \cdots d^3\vec{x}_N d^3\vec{p}_1 \cdots d^3\vec{p}_N e^{-\beta \sum_{i=1}^N \varepsilon_i}$$

$$= \left(\frac{V}{h^3} \right)^N \int \left(\prod_{i=1}^N d^3\vec{p}_i \right) \left(\prod_{i=1}^N e^{-\beta \frac{\vec{p}_i^2}{2m_i}} \right) = \left(\frac{V}{h^3} \right)^N \times \prod_{i=1}^N \left(\sqrt{\frac{2m_i\pi}{\beta}} \right)^3$$

若规定 $m_1 = m_2 = \cdots = m_m = m$ ，则有 $z = Z^N$ ，其中 $Z = \frac{V}{h^3} \left(\frac{2\pi m}{\beta} \right)^{\frac{3}{2}}$ 。接着可以导出各大热力学量：

$$F = -\frac{1}{\beta} \ln Z = -Nk_B T \ln \left[(2\pi m k_B T)^{\frac{3}{2}} V h^{-3} \right]$$

$$\bar{E} = -\partial_{\beta} \ln Z = -N \partial_{\beta} \ln \beta^{\frac{3}{2}} = \frac{3}{2} N \frac{1}{\beta} = \frac{3}{2} N k_B T$$

$$S = -\frac{\partial F}{\partial T} \Big|_V = Nk_B \ln \left[(2\pi m k_B T)^{\frac{3}{2}} V h^{-3} \right] - \frac{3}{2} Nk_B$$

$$P = -\frac{\partial F}{\partial V} \Big|_T = Nk_B T \left(\frac{1}{V} \right) = \frac{Nk_B T}{V}$$

1.2. 再谈经典理想气体的熵

既然算出了经典理想气体熵的表达式，我们不妨回顾一下吉布斯佯谬。吉布斯佯谬其实问的是熵是不是广延量，即是否满足 $S(N, V) = \lambda S\left(\frac{1}{\lambda}N, \frac{1}{\lambda}V\right)$ 。对比 $S(N, V)$ 和

$$2S\left(\frac{1}{2}N, \frac{1}{2}V\right)$$

$$S(N, V) = \frac{3}{2} Nk_B + Nk_B \ln \left[(2\pi m k_B T)^{3/2} V h^{-3} \right]$$

$$S\left(\frac{1}{2}N, \frac{1}{2}V\right) = \frac{3}{4} Nk_B + \frac{1}{2} Nk_B \ln \left[(2\pi k_B T)^{3/2} \left(\frac{V}{2}\right) h^3 \right]$$

推出

$$S(N, V) = 2S\left(\frac{1}{2}N, \frac{1}{2}V\right) + Nk_B \ln(2)$$

发现经典理想气体的熵并不是广延量，这是由经典理想气体的可分辨性造成的，对于量子理论中的全同粒子，熵是广延量。

1.3. 麦克斯韦速率分布

对于一个无相互作用的 N 粒子经典理想气体系统，微观状态可表示为

$(\vec{x}_1, \vec{p}_1, \vec{x}_2, \vec{p}_2, \dots, \vec{x}_n, \vec{p}_n)$ 。容易得到¹

$$P|_{\vec{p}_1 \in [\vec{p}_1^{(0)} + d\vec{p}_1], \vec{p}_2 \in [\vec{p}_2^{(0)} + d\vec{p}_2], \dots, \vec{p}_n \in [\vec{p}_n^{(0)} + d\vec{p}_n]} \propto e^{-\beta \left[\frac{\vec{p}_1^2}{2m} + \frac{\vec{p}_2^2}{2m} + \dots + \frac{\vec{p}_n^2}{2m} \right]} d^3\vec{p}_1 d^3\vec{p}_2 \dots d^3\vec{p}_n$$

考虑第一个粒子，有

$$P|_{\vec{p}_1 \rightarrow \vec{p}_1 + d\vec{p}_1} \propto e^{-\beta \frac{\vec{p}_1^2}{2m}} d^3\vec{p}_1$$

¹ 如果你觉得不容易得到的话，回忆一下数理统计： $e^{-\beta \left[\frac{\vec{p}_1^2}{2m} + \frac{\vec{p}_2^2}{2m} + \dots + \frac{\vec{p}_N^2}{2m} \right]}$ 是一个类似概率密度的东西。

下面计算以能量为变量的概率密度。定义 $P|_{\varepsilon \in [\varepsilon_0, \varepsilon_0 + \Delta\varepsilon]} \equiv f(\varepsilon_0)\Delta\varepsilon$, 不难得到

$$f(\varepsilon_0)\Delta\varepsilon = \int_{\sqrt{2m\varepsilon_0}}^{\sqrt{2m(\varepsilon_0 + \Delta\varepsilon)}} dp d\theta \sin\theta d\varphi e^{-\beta \frac{p^2}{2m}} p^2 = (4\pi)(2m\varepsilon_0)e^{-\beta\varepsilon_0} \times \sqrt{\frac{m}{2\varepsilon_0}} \Delta\varepsilon$$

推出

$$f(\varepsilon) \propto \sqrt{\varepsilon} e^{-\beta\varepsilon}$$

接着计算以速率为变量的概率密度。定义 $P|_{|\vec{v}| \in [v_0, v_0 + \Delta v]} \equiv g(v_0)\Delta v$, 不难得到

$$g(v_0)\Delta v = \int_{mv_0}^{m(v_0 + \Delta v)} dp d\theta \sin\theta d\varphi e^{-\beta \frac{p^2}{2m}} p^2$$

推出

$$g(v) \propto v^2 e^{-\beta \left(\frac{1}{2}mv^2 \right)}$$

这就是麦克斯韦速率分布，根据归一化条件可以定出系数。根据速率分布，我们可以计算一些量：

(1) 最概然速率 (Typical speed, v_T) :

$$\begin{aligned} \frac{d}{dv} v^2 e^{-\beta \left(\frac{1}{2}mv^2 \right)} &= 0 \\ e^{-\frac{1}{2}\beta mv^2} + v^2 e^{-\frac{1}{2}\beta mv^2} \left(-\frac{1}{2}\beta m \right) &= 0 \end{aligned}$$

$$v_T = \sqrt{\frac{2k_B T}{m}}$$

(2) 平均速率 (\bar{v}) ²:

$$\bar{v} = \frac{\int_0^{+\infty} dv v^2 e^{-\beta \frac{1}{2}mv^2} v}{\int_0^{+\infty} dv v^2 e^{-\beta \frac{1}{2}mv^2}} = \sqrt{\frac{8k_B T}{\pi m}}$$

(3) 方均根速率 (v_s^2) :

$$v_s^2 \equiv \overline{v^2} = \frac{3k_B T}{m}$$

² 需要用到这两个等式: $\int_0^{+\infty} x^{2n} e^{-\lambda x^2} dx = \sqrt{\frac{\pi}{\lambda}} \frac{1}{2^{n+1}}$, $\int_0^{+\infty} x^{2n+1} e^{-\lambda x^2} dx = \frac{n!}{2\lambda^{n+1}}$.

2. 理想玻色气体

2.1. 玻色爱因斯坦分布

这里采用巨正则系综³导出Bose-Einstein分布：

假设系统有 N 个粒子， L 个单粒子能级： $\varepsilon_1 \leq \varepsilon_2 \leq \varepsilon_3 \leq \dots \leq \varepsilon_L$. 则一个微观状态可表示为 (n_1, n_2, \dots, n_L) , s.t. $\sum_i n_i = N$, 不难得到总能量 $E = \sum_i n_i \varepsilon_i$. 因此，在巨正则系综中，出现状态 (n_1, n_2, \dots, n_L) 的概率为：

$$P(n_1, n_2, \dots, n_L) = \frac{e^{-\beta(E-\mu N)}}{Z} = \frac{e^{-\beta \sum_i n_i (\varepsilon_i - \mu)}}{Z} \quad (1)$$

其中 Z 为配分函数⁴⁵：

$$Z = \sum_{n_1 n_2 \dots n_L} e^{-\beta \sum_i n_i (\varepsilon_i - \mu)} = \prod_i \left[\sum_{n_i} e^{-\beta n_i (\varepsilon_i - \mu)} \right] = \prod_i \left[\frac{1}{1 - e^{-\beta(\varepsilon_i - \mu)}} \right] \quad (2)$$

不难算出第 i 个能级粒子数的期望：

$$\overline{n_i} = \sum_{n_1 n_2 \dots n_L} P(n_1 n_2 \dots n_L) n_i \quad (3)$$

其中 $\sum_{n_1 n_2 \dots n_L}$ 表示遍历所有微观状态求和。将(1)代入(3), 计算得：

$$\overline{n_i} = \sum_{n_1 n_2 \dots n_L} \frac{e^{-\beta \sum_i n_i (\varepsilon_i - \mu)}}{Z} n_i = \sum_{n_1 n_2 \dots n_L} \frac{-\frac{1}{\beta} \frac{\partial}{\partial \varepsilon_i} e^{-\beta \sum_i n_i (\varepsilon_i - \mu)}}{Z} = -\beta \frac{\partial}{\partial \varepsilon_i} \ln Z \quad (4)$$

将(2)代入(4)，可得

$$\overline{n_i} = -\frac{1}{\beta} \frac{\partial}{\partial \varepsilon_i} \ln Z = -\frac{1}{\beta} \frac{\partial}{\partial \varepsilon_i} \ln \left[\frac{1}{1 - e^{-\beta(\varepsilon_i - \mu)}} \right] = \frac{1}{e^{\beta(\varepsilon_i - \mu)} - 1} \quad (5)$$

(5)即为Bose-Einstein分布。

2.2. 理想玻色气体

考虑一个 $L \times L \times L$ 的盒子，波函数为 $\psi(\vec{x}) \sim e^{ik_x x} e^{ik_y y} e^{ik_z z}$, 波矢为

$$\vec{k} = \left(\frac{2n_x \pi}{L}, \frac{2n_y \pi}{L}, \frac{2n_z \pi}{L} \right), \text{不同能级的能量为 } \varepsilon_{\vec{n}} \equiv \frac{\hbar^2 k^2}{2m} = \frac{\hbar^2}{2m} \left(\frac{2\pi}{L} \right)^2 \vec{n}^2 = \frac{2\pi^2 \hbar^2}{mL^2} n^2. \text{ 理}$$

想玻色气体的单粒子能级由 (n_x, n_y, n_z) 标定，微观状态可以由不同动量态的占据数组成的数组表示： $\{m_{\vec{n}}\}$ ，可以写出配分函数⁶：

³为什么不用正则系综？正则系综中存在约束 $\sum_i n_i = N$ ，无法对配分函数进行类似操作。

⁴下式的 n 指 n_i 可能的取值， n 可以取到全体正整数是因为巨正则系综粒子数可变。

⁵我们在计算等比数列求和时，要想级数不发散，必然有 $e^{-\beta(\varepsilon_i - \mu)} < 1$ ，即对于任意单粒子能级， $\varepsilon_i > \mu$ 。因此为保持理论的well-define，我们要求 $\mu < 0$ 。

⁶这里要求 $\mu \leq 0$

$$z \equiv \sum_{\{m_{\vec{n}}\}} e^{-\beta \left(\sum_{\vec{n}} m_{\vec{n}} \varepsilon_{\vec{n}} - \mu \sum_{\vec{n}} m_{\vec{n}} \right)} = \sum_{\{m_{\vec{n}}\}} e^{-\beta \sum_{\vec{n}} m_{\vec{n}} (\varepsilon_{\vec{n}} - \mu)} = \prod_{\vec{n}} \left[\frac{1}{1 - e^{-\beta(\varepsilon_{\vec{n}} - \mu)}} \right] \quad (6)$$

巨势函数：

$$\Psi \equiv -k_B T \ln z = k_B T \sum_{\vec{n}} \ln [1 - e^{-\beta(\varepsilon_{\vec{n}} - \mu)}] = k_B T \int d\varepsilon D(\varepsilon) \ln [1 - e^{-\beta(\varepsilon - \mu)}] \quad (7)$$

其中 $D(\varepsilon) = \sum_{\vec{n}} \delta(\varepsilon_{\vec{n}} - \varepsilon)$. 令 $n \equiv |\vec{n}|$, 当 $n \gg 1$ 时, 有 $D(\varepsilon)d\varepsilon = 4\pi n^2 dn$. 由此可计算 $D(\varepsilon)$:

$$D(\varepsilon) = 4\pi n^2 \frac{1}{\frac{d\varepsilon}{dn}} = 4\pi \times \frac{mL^2 \varepsilon}{2\pi^2 \hbar^2} \frac{1}{\frac{4\pi^2 \hbar^2}{mL^2} \times \frac{\sqrt{\varepsilon}}{\sqrt{\frac{2\pi^2 \hbar^2}{mL^2}}}} = \frac{2\pi L^3}{h^3} (2m)^{\frac{3}{2}} \sqrt{\varepsilon} \quad (h = 2\pi\hbar) \quad (8)$$

把(8)代入(7), 令 $\alpha \equiv -\beta\mu$, 再对 ε 做无量纲化处理, 令 $\varepsilon = k_B T x$, 得到

$$\begin{aligned} \frac{\Psi}{V} &= \frac{k_B T}{h^3} \int d\varepsilon \, 2\pi (2m)^{\frac{3}{2}} \sqrt{\varepsilon} \ln [1 - e^{-\beta(\varepsilon - \mu)}] \\ &= \frac{2\pi}{h^3} (2m)^{\frac{3}{2}} (k_B T)^{\frac{5}{2}} \int_0^{+\infty} dx \sqrt{x} \ln [1 - e^{-\alpha - x}] \end{aligned} \quad (9)$$

定义 fugacity: $Z \equiv e^{-\alpha} = e^{\beta\mu}$, 运用分部积分, (9)可改写为

$$\frac{\Psi}{V} = -\frac{2\pi}{h^3} (2m)^{\frac{3}{2}} (k_B T)^{\frac{5}{2}} \frac{2}{3} \left[\int_0^{+\infty} \frac{x^{3/2}}{e^{\alpha+x} - 1} dx \right]$$

定义:

$$g_\nu(Z) = \frac{1}{\Gamma(\nu)} \int_0^{+\infty} \frac{x^{\nu-1}}{z^{-1}e^x - 1} dx \quad (10)$$

(9)可进一步改写为

$$\frac{\Psi}{V} = -k_B T \lambda_T^{-3} g_{\frac{5}{2}}(Z) \quad (11)$$

其中 λ_T 为德布罗意波长: $\lambda_T = \frac{h}{\sqrt{2\pi m k_B T}}$. 由此可计算相关热力学量

$$P = -\frac{\partial \Psi}{\partial V} \Big|_{T, \mu} = \frac{k_B T}{\lambda_T^3} g_{\frac{5}{2}}(Z) \quad (12)$$

$$\bar{E} = -\frac{\partial}{\partial \beta} \ln z = \frac{\partial}{\partial \beta} (\beta \Psi) = -V \frac{(2\pi m)^{\frac{3}{2}}}{h^3} g_{\frac{5}{2}}(Z) \frac{\partial}{\partial \beta} \left(\beta^{-\frac{3}{2}} \right) = \frac{3}{2} (k_B T) \frac{V}{\lambda_T^3} g_{\frac{5}{2}}(Z) \quad (13)$$

$$\bar{N} = -\frac{\partial \Psi}{\partial \mu} \Big|_{\beta, V, \dots} = \frac{\partial}{\partial \alpha} \frac{\partial \alpha}{\partial \mu} \left(\frac{1}{\beta} \ln z \right) = -\frac{\partial}{\partial \alpha} \ln z = Z \frac{\partial}{\partial Z} \ln z \quad (14)$$

$$= V \lambda_T^{-3} Z \frac{\partial}{\partial Z} (g_{\frac{5}{2}}(Z)) = \frac{V}{\lambda_T^3} g_{\frac{3}{2}}(z)$$

注意(14)式最后一步推导用到如下关系: $Z \frac{d}{dZ} g_\nu(Z) = g_{\nu-1}(Z)$ ($\nu > 1$). 根据以上结果。可得:

$$\frac{PV}{k_B T} = \frac{V}{\lambda_T^3} g_{\frac{5}{2}}(Z) = \bar{N} \times \frac{g_{\frac{5}{2}}(Z)}{g_{\frac{3}{2}}(Z)} \quad (15)$$

$$\frac{\bar{E}}{\frac{3}{2} k_B T} = \frac{V}{\lambda_T^3} g_{\frac{5}{2}}(Z) = \bar{N} \times \frac{g_{\frac{5}{2}}(Z)}{g_{\frac{3}{2}}(Z)} \quad (16)$$

$$\bar{N} = \frac{V}{\lambda_T^3} g_{\frac{3}{2}}(z)$$

2.3. 高温展开与量子修正

Z 趋于0时, $g_\nu(Z)$ 有如下展开性质:

$$g_\nu(Z) = \sum_{m=1}^{\infty} \frac{Z^m}{m^\nu} = Z + \frac{Z^2}{2^\nu} + \frac{Z^3}{3^\nu} + \dots \quad (17)$$

当固定粒子数密度 $n = \frac{\bar{N}}{V}$ 时, 考察高温情况 ($T \rightarrow \infty$), 有 $\lambda_T = \frac{h}{\sqrt{2\pi m k_B T}} \rightarrow 0$. 根据

(14)式, $\frac{\bar{N}}{V} = \frac{g_{\frac{3}{2}}(Z)}{\lambda_T^3}$ 不变, 因此 $g_{\frac{3}{2}}(Z)$ 也要趋于0. 根据展开式(17), 此时有 Z 趋于0⁷.

我们知道 $n \lambda_T^3 = g_{\frac{3}{2}}(Z)$, 现定义 $y \equiv n \lambda_T^3 = g_{\frac{3}{2}}(Z)$, 在 Z 趋于0时可以反解出⁸

$$y = Z + \frac{Z^2}{2^{3/2}} + \frac{Z^3}{3^{3/2}} + \dots \quad (18)$$

可见高温下, y 与 Z 是同阶小量。现在把(18)代入(15)(16):

$$\frac{PV}{k_B T} = \bar{N} \times \frac{Z + \frac{1}{2^{5/2}} Z^2 + \dots}{Z + \frac{1}{2^{3/2}} Z^2 + \dots} = \bar{N} \times \left[1 + \left(\frac{1}{2^{5/2}} - \frac{1}{2^{3/2}} \right) Z + \dots \right]$$

⁷ 绝对不要以为 $Z = e^{\beta\mu}$, 就得出当 T 趋近于 $+\infty$ 时 $Z = 1$ 的结论, 因为 μ 也是 T 的函数。

⁸ 这里用到了微扰论的标准做法, 详细请看本节附录2

$$= \bar{N} \times \left[1 - \frac{1}{2^{5/2}} Z + \dots \right] = \bar{N} \times \left[1 - \frac{1}{2^{5/2}} y + \dots \right]$$

其中 $-\frac{1}{2^{5/2}} y + \dots$ 为量子修正项，其表现为吸引作用，因为 V 比不考虑修正项时要小。同理，有

$$\bar{E} = \frac{3}{2} \bar{N} k_B T \left[1 - \frac{1}{2^{5/2}} y + \dots \right]$$

我们还可以计算熵在高温下的量子修正⁹：

$$\begin{aligned} S_c &= - \left. \frac{\partial \Psi}{\partial T} \right|_{\mu, V} = \frac{U + PV - \mu \bar{N}}{T} = \frac{5}{2} \bar{N} k_B \frac{g_{5/2}(z)}{g_{3/2}(z)} - \bar{N} k_B \ln Z \\ &= \frac{5}{2} \bar{N} k_B \left[1 - \frac{1}{2^{5/2}} y + \dots \right] - \bar{N} k_B \ln \left[y - \frac{1}{2^{3/2}} y^2 + \dots \right] \\ &= \frac{5}{2} \bar{N} k_B - \frac{5}{2^{7/2}} \bar{N} k_B y - \bar{N} k_B \ln y + \bar{N} k_B \frac{1}{2^{3/2}} y^2 + \theta(y^2) \\ &= \frac{5}{2} \bar{N} k_B - \frac{1}{2^{7/2}} \bar{N} k_B y - \bar{N} k_B \ln y + \theta(y^2) \end{aligned} \quad (19)$$

其中 $-\frac{1}{2^{7/2}} \bar{N} k_B y + \theta(y^2)$ 为量子修正项。可以发现，这时 S 满足广延性

$$S_c(N, V, T) = \lambda S_c \left(\frac{1}{\lambda} N, \frac{1}{\lambda} V, T \right)$$

附录1. Γ 函数的一些性质

$$\Gamma(z) = \int_0^{+\infty} e^{-t} t^{z-1} dt \quad (\text{Re } z > 0)$$

$$\Gamma(z+1) = z\Gamma(z)$$

$$\Gamma(n) = (n-1)!$$

$$\Gamma(1) = 0! = 1$$

$$\Gamma\left(\frac{1}{2}\right) = \sqrt{\pi}$$

附录2. 微扰论简介

根据 $y = Z + \frac{Z^2}{2^{3/2}} + \frac{Z^3}{3^{3/2}} + \dots$ ，显然有 $y \sim z$ 。设 $z = c_1 y + c_2 y^2 + c_3 y^3 + \dots$ ，把(18)代入上式，有

$$y \approx (c_1 y + c_2 y^2 + c_3 y^3 + \dots) + \frac{1}{2^2} (c_1 y + c_2 y^2 + c_3 y^3 + \dots)^2 + \frac{1}{3^2} (c_1 y + c_2 y^2 + c_3 y^3 + \dots)^3$$

⁹ $G = \mu N = U - TS + PV$

对比等号两边：

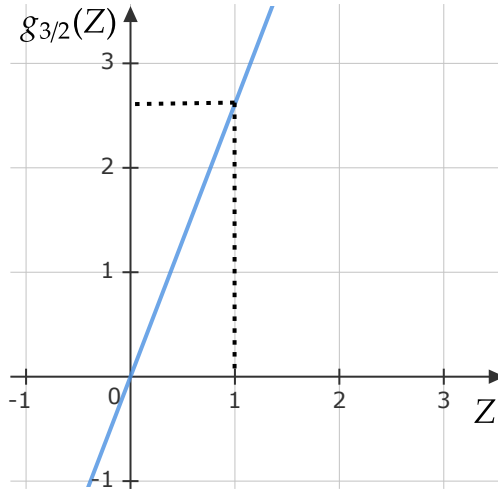
$$(1) \text{ 1st order} \Rightarrow c_1 = 1$$

$$(2) \text{ 2nd order} \Rightarrow c_2 + \frac{1}{2^{3/2}}c_1^2 = 0 \Rightarrow c_2 = -\frac{1}{2^{3/2}}$$

$$(3) \text{ 3rd order} \Rightarrow c_3 + \frac{2}{2^{3/2}}c_1c_2 + \frac{1}{3^{3/2}}c_1^3 = 0 \Rightarrow c_3 = \frac{1}{4} - \frac{1}{3^{3/2}}$$

2.4. 态密度及其局限性

回顾 $g_\nu(Z)$ 定义： $g_\nu(Z) = \frac{1}{\Gamma(\nu)} \int_0^{+\infty} \frac{x^{\nu-1}}{z^{-1}e^x - 1} dx$ ，又 Z 的取值范围¹⁰为 $0 \sim 1$ ，则 $g_{3/2}(Z)$ 函数图像大致为



由此可见， $g_{3/2}(Z) \leq g_{3/2}(1)$. 定义黎曼 ζ 函数： $\zeta(\nu) = g_\nu(1)$ ，则必有

$$g_{3/2}(Z) \leq \zeta\left(\frac{3}{2}\right) \quad (20)$$

又根据(14)，有 $n\lambda_T^3 = g_{3/2}(z)$. 我们固定粒子数密度 n ，降低温度 T ，德布罗意波长 λ_T 则会增大。那么当 $T < T_c \equiv \frac{h^2}{2\pi m k_B} \left[\frac{n}{\zeta(3/2)} \right]^{2/3}$ 时，有 $g_{3/2}(z) = n\lambda_T^3 > \zeta\left(\frac{3}{2}\right)$ ，与(20)矛盾。肖邦有言，有矛盾的地方，就是新物理诞生的地方¹¹。那么是什么地方出错了呢？问题出在本章2.2节关于态密度的推导上。我们知道，当 $n \gg 1$ 时，有 $D(\epsilon)d\epsilon = 4\pi n^2 dn$ ，然而当 $n = 0$ 很小的时候，这个式子不成立。具体来说，我们之前计算过 $D(\epsilon) \sim \sqrt{\epsilon}$ ，如果把零动量的微观占据数也写成态密度的形式，则¹²有 $m(0) = \frac{D(0)}{z^{-1}e^0 - 1} = 0$ ；而根据玻色爱因斯坦分布， $m(0) = \frac{1}{e^{-\beta\mu} - 1}$ ，0动能项的贡献可以很大，这说明了态密度表示不能很好地处理0动能项，这也就是本节标题态密度的局限性的含义。为了修正这个问题，我们在计算各能级粒子占据数是将0动能项单独计算：

¹⁰ 别忘了 $\mu < 0$

¹¹ 也有可能是程序出bug的地方。

¹² 怕你忘记， m 是不同能级上的粒子占据数。

$$m(\varepsilon) = \begin{cases} \frac{D(\varepsilon)}{z^{-1}e^{\beta\varepsilon} - 1} & \varepsilon > 0 \\ \frac{1}{Z^{-1} - 1} = \frac{Z}{1 - Z} & \varepsilon = 0 \end{cases} \quad (21)$$

相应地，计算平均粒子数时也分开计算： $\bar{N} = \bar{N}_0 + \bar{N}_{ex}$ ，其中 \bar{N}_0 表示基态¹³的平均粒子占据数， \bar{N}_{ex} 表示激发态的平均粒子占据数。

根据(21)，可以算出 $\bar{N}_0 = m(0) = \frac{Z}{1 - Z}$ ， $\bar{N}_{ex} = \int_{0^+}^{+\infty} d\varepsilon m(\varepsilon) = \frac{V}{\lambda_T^3} g_{3/2}(z)$ 。由此得

$$\bar{N} = \frac{Z}{1 - Z} + \frac{V}{\lambda_T^3} g_{3/2}(z) \quad (22)$$

对比(14)，发现先前的问题就是漏了0动量项 $\frac{Z}{1 - Z}$ 。

(1)当 $T > T_c$ 时， $1 - Z \gg \frac{1}{N}$ ，即 $\frac{1}{\bar{N}(1-Z)} \rightarrow 0$ ，又 $Z \rightarrow 0$ ，则有 $\frac{\bar{N}_0}{\bar{N}} = \frac{Z}{\bar{N}(1-Z)} \rightarrow 0$ 。这时可以直接写出 \bar{N}

$$\bar{N} = \frac{V}{\lambda_T^3} g_{3/2}(z) = n \lambda_T^3 g_{3/2}(z)$$

(2)当 $T < T_c$ 时， $1 - Z \sim \frac{1}{N}$ ，即 $\frac{1}{\bar{N}(1-Z)} \rightarrow$ 有限值，又 $Z \rightarrow 1$ ，则有

$\frac{\bar{N}_0}{\bar{N}} = \frac{Z}{\bar{N}(1-Z)} \rightarrow$ 有限值。这时 \bar{N} 应分成计算

$$\bar{N}_{ex} = \frac{V}{\lambda_T^3} g_{3/2}(1^-) = \frac{V}{\lambda_T^3} \zeta\left(\frac{3}{2}\right) \quad (23)$$

$$\bar{N}_0 = \frac{Z}{1 - Z} \quad (24)$$

实际上我们可以写出更紧凑的形式：我们知道 T_c 由 $\bar{N} = \frac{V}{\lambda_{T_c}^3} \zeta\left(\frac{3}{2}\right)$ 定义，将其与(23)对比，

可得

$$\frac{\bar{N}_{ex}}{\bar{N}} = \left(\frac{T}{T_c}\right)^{\frac{3}{2}}$$

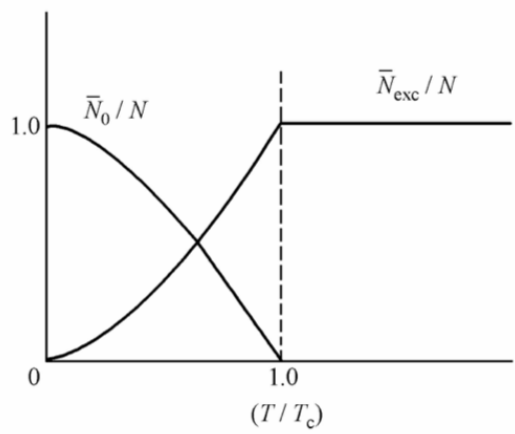
从而推出

¹³ 就是 $\varepsilon = 0$ 项

$$\frac{\bar{N}_0}{\bar{N}} = 1 - \left(\frac{T}{T_c} \right)^{\frac{3}{2}}$$

2.5. 玻色爱因斯坦凝聚

我们认为，在 $T = T_c$ 是理想玻色气体发生了相变，这一定程度打破了我们原有的认知，对于没有相互作用的粒子也可能发生相变。 $T < T_c$ 时为玻色爱因斯坦凝聚相， $T > T_c$ 时是正常相。



我们接下来计算对态密度修正后的理论下，配分函数和各大热力学量较修正前是否有变化。

• 配分函数和巨势函数

首先计算配分函数和巨势函数，只要把0动能项单独列出即可：

$$z = \prod_{\vec{n}} \left[\frac{1}{1 - e^{-\beta(\epsilon_{\vec{n}} - \mu)}} \right] = \frac{1}{1 - Z} \prod_{\vec{n} \neq 0} \left[\frac{1}{1 - e^{-\beta(\epsilon_{\vec{n}} - \mu)}} \right]$$

$$\Psi = -k_B T \ln z = k_B T \ln(1 - Z) + \int d\epsilon D(\epsilon) \ln[1 - e^{-\beta(\epsilon - \mu)}]$$

$$= k_B T \ln(1 - Z) - k_B T \frac{V}{\lambda_T^3} g_{5/2}(Z)$$

对比修正前的巨势函数(11)，不难发现，前后只差了 $k_B T \ln(1 - Z)$ 项。

• 压强

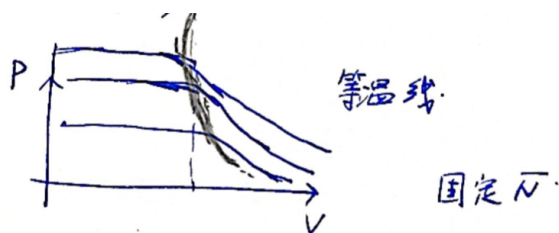
我们接着计算压强：

$$P = - \left. \frac{\partial \Psi}{\partial V} \right|_{\mu, T} = \frac{k_B T}{\lambda_T^3} g_{5/2}(Z)$$

对比修正前的压强(12)，发现没有什么变化，这个结论符合物理直觉：修正前后只是增加了0动能项，但0动能项不会对压强产生贡献。我们知道， $T < T_c$ 时， $Z \rightarrow 1$ ，即有

$$P = \begin{cases} \frac{k_B T}{\lambda_T^3} g_{5/2}(Z) & T > T_c \\ \frac{k_B T}{\lambda_T^3} g_{5/2}(1) & T < T_c \end{cases}$$

因此，当 $T > T_c$ 时， P 是 T, N 的函数 $P(T, N)$ ；而当 $T < T_c$ 时， P 是 T 的函数 $P(T)$ 。我们固定 \bar{N} ，可以在 $P - V$ 图上做出等温线：



为了更好地理解 $P - V$ 图，我们可以计算 $\left. \frac{\partial P}{\partial V} \right|_{N,T}$ ，分成两种情况讨论：

(1) $T > T_c$ 时¹⁴,

$$\begin{aligned} \left. \frac{\partial P}{\partial V} \right|_{N,T} &= \left. \frac{\partial P}{\partial \mu} \right|_{N,T} \times \left. \frac{\partial \mu}{\partial V} \right|_{N,T} = \frac{1}{Z} Z \left. \frac{\partial P}{\partial Z} \right|_{N,T} \left. \frac{\partial Z}{\partial V} \right|_{N,T} = \frac{k_B T}{\lambda_T^3} \left[Z \frac{d}{dZ} g_{5/2}(Z) \right] \left(\left. \frac{1}{Z} \frac{\partial Z}{\partial V} \right|_{N,T} \right) \\ &= \frac{k_B T}{\lambda_T^3} g_{3/2}(Z) \left(\left. \frac{1}{Z} \frac{\partial Z}{\partial V} \right|_{N,T} \right) = - \frac{N k_B T}{V^2} \frac{g_{3/2}(Z)}{g_{1/2}(Z)} \end{aligned}$$

其中最后一步用到结论 $\left. \frac{1}{Z} \frac{\partial Z}{\partial V} \right|_{N,T} = - \frac{N}{V^2} \frac{\lambda_T^3}{g_{1/2}(Z)}$ ，推导过程如下：由(14)，有

$\frac{N}{V} \lambda_T^3 = g_{3/2}(Z)$ ，固定 N, T 不变，等号两边对 V 求偏导

$$- \frac{N}{V^2} \lambda_T^3 = \frac{d}{dZ} g_{3/2}(Z) \left. \frac{\partial Z}{\partial V} \right|_{N,T}$$

运用关系 $Z \frac{d}{dZ} g_\nu(Z) = g_{\nu-1}(Z)$ ($\nu > 1$)，再整理一下，即得到

$$\left. \frac{1}{Z} \frac{\partial Z}{\partial V} \right|_{N,T} = - \frac{N}{V^2} \frac{\lambda_T^3}{g_{1/2}(Z)}$$

注意 $g_{1/2}(Z)$ 在 Z 趋近于 0 时是发散的，因此在相变临界点上有 $\left. \frac{\partial P}{\partial V} \right|_{N,T} = 0$ 。

(2) $T < T_c$ 时，根据先前的分析， $P(T)$ 只与 T 有关，显然有 $\left. \frac{\partial P}{\partial V} \right|_{N,T} = 0$ 。

• 相边界

¹⁴ 第四个等号用到了 $Z \frac{d}{dZ} g_\nu(Z) = g_{\nu-1}(Z)$ ($\nu > 1$)；

当 $T = T_c$ 时, 有

$$P = \frac{k_B T_c}{\lambda_{T_c}^3} g_{5/2}(1) \quad (25)$$

$$n \lambda_{T_c}^3 = g_{3/2}(1) \quad (26)$$

联立(25)(26), 消去 T_c , 由此可求得相边界方程

$$P \cdot \left(\frac{V}{N}\right)^{5/3} = \frac{h^2}{2\pi m} g_{5/2}(1) g_{3/2}^{-5/3}(1) = \frac{h^2}{2\pi m} \frac{\zeta\left(\frac{5}{2}\right)}{\left[\zeta\left(\frac{3}{2}\right)\right]^{\frac{5}{3}}}$$

• 内能和熵

$$\bar{E} = -\frac{\partial}{\partial \beta} \ln z = \frac{3}{2} k_B T \frac{V}{\lambda_T^3} g_{5/2}(Z)$$

$$S = \frac{U + PV - \mu \bar{N}}{T} = \frac{5}{2} k_B \left(\frac{V}{\lambda_T^3}\right) g_{5/2}(Z) - N k_B \ln Z$$

对比修正前的式子(13)和(19), 发现内能和熵没有变化, 这也是符合物理直觉的。

• 比热 C_V

对定容比热的讨论也分成两种情况:

(1) $T < T_c$ ¹⁵

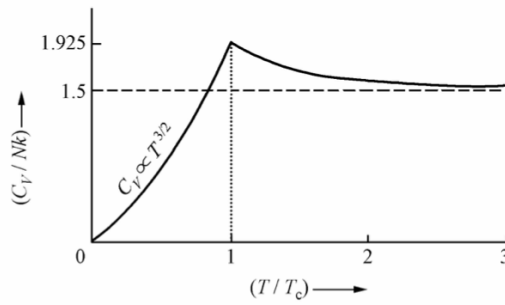
$$C_V = \left. \frac{\partial \bar{E}}{\partial T} \right|_{V,N} = \frac{3}{2} \times \frac{5}{2} k_B \frac{V}{\lambda_T^3} \zeta\left(\frac{5}{2}\right)$$

(2) $T > T_c$ ¹⁶

$$\begin{aligned} C_V &= \left. \frac{\partial \bar{E}}{\partial T} \right|_{V,N} = \frac{15}{4} k_B \frac{V}{\lambda_T^3} g_{\frac{5}{2}}(Z) + \frac{3}{2} k_B T \frac{V}{\lambda_T^3} \left[Z \frac{d}{dZ} g_{\frac{5}{2}}(Z) \right] Z^{-1} \frac{dZ}{dT} \Big|_{V,N} \\ &= \frac{15}{4} k_B \left[\frac{V}{\lambda_T^3} \right] g_{\frac{5}{2}}(Z) - \frac{9}{4} N k_B \frac{g_{3/2}(Z)}{g_{1/2}(Z)} \end{aligned}$$

¹⁵ 如果你对结论中的 $\frac{5}{2}$ 感到疑惑, 请不要忘记 λ_T 里也是有 T 的。

¹⁶ 如果你对最后一个等式怎么来的感到困惑, 你最好回顾一下本节讨论压强的部分中对 $\left. \frac{\partial P}{\partial V} \right|_{N,T}$ 的计算, 用到的技术是类似的。



3. 理想费米气体

3.1. 费米狄拉克分布

这里采用巨正则系综导出fermi-Dirac分布：假设系统有 N 个粒子， L 个单粒子能级：

$\varepsilon_1 \leq \varepsilon_2 \leq \varepsilon_3 \leq \dots \leq \varepsilon_L$. 则一个微观状态可表示为 (n_1, n_2, \dots, n_L) , s.t. $\sum_i n_i = N$, $n_i \leq 1$.

不难得到总能量 $E = \sum_i n_i \varepsilon_i$. 与Bose-Einstein分布的算法一致，有

$$P(n_1, n_2, \dots, n_L) = \frac{e^{-\beta \sum_i n_i (\varepsilon_i - \mu)}}{Z} \text{ 和 } \overline{n_i} = -\beta \frac{\partial}{\partial \varepsilon_i} \ln Z. \text{ 略有不同的是 } Z \text{ 的算法:}$$

$$Z = \sum_{n_1 n_2 \dots n_L} e^{-\beta \sum_i n_i (\varepsilon_i - \mu)} = \prod_i \left[\sum_{n=0,1} e^{-\beta n (\varepsilon_i - \mu)} \right] = \prod_i \left[1 + e^{-\beta (\varepsilon_i - \mu)} \right] \quad (27)$$

由此可以计算第 i 个能级粒子数的期望：

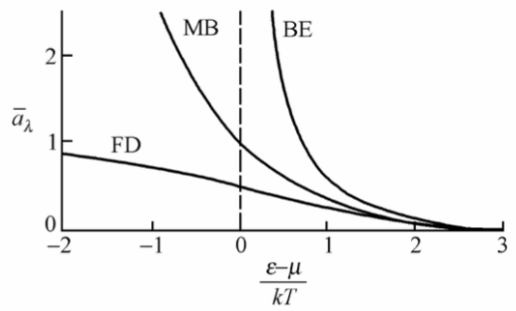
$$\overline{n_i} = -\beta \frac{\partial}{\partial \varepsilon_i} \ln \prod_i \left[1 + e^{-\beta (\varepsilon_i - \mu)} \right] = -\beta \frac{\partial}{\partial \varepsilon_i} \ln \left[1 + e^{-\beta (\varepsilon_i - \mu)} \right] = \frac{1}{e^{\beta (\varepsilon_i - \mu)} + 1} \quad (28)$$

(7)即为fermi-Dirac分布。低温极限下, $\beta \rightarrow \infty, \overline{n_i} = \begin{cases} 0 & \varepsilon_i \geq \mu \\ 1 & \varepsilon_i \leq \mu \end{cases}$

统计总结：我们分别在第二章的推导了麦克斯韦玻尔兹曼分布，在第三章的2.1推导了玻色爱因斯坦分布，在本节推导了费米狄拉克分布。这三个分布实际上可以总结为：

$$\overline{a}_\lambda = \frac{g_\lambda}{e^{\alpha + \beta \varepsilon_\lambda} + \eta}, \quad \eta = \begin{cases} +1, & \text{Fermi - Dirac} \\ 0, & \text{Maxwell - Boltzman} \\ -1, & \text{Bose - Einstein} \end{cases}$$

可以发现在 $\frac{\varepsilon - \mu}{kT} \gg 1$ 的条件下，三种分布的差别消失。



3.2. 理想费米气体的配分函数与热力学函数

考虑一个 $L \times L \times L$ 的盒子，波函数为 $\psi(\vec{x}) \sim e^{ik_x x} e^{ik_y y} e^{ik_z z}$ ，波矢为

$$\vec{k} = \left(\frac{2n_x \pi}{L}, \frac{2n_y \pi}{L}, \frac{2n_z \pi}{L} \right), \text{不同能级的能量为 } \epsilon_{\vec{n}} \equiv \frac{\hbar^2 \vec{k}^2}{2m} = \frac{\hbar^2}{2m} \left(\frac{2\pi}{L} \right)^2 \vec{n}^2 = \frac{2\pi^2 \hbar^2}{mL^2} n^2,$$

微观状态可以由不同动量态的占据数组成的数组表示: $\{m_{\vec{n}}\}$ 。上述分析与理想玻色气体相

同，不同的地方有二：一是理想费米气体的自旋为 $\frac{1}{2}$ ，有2个内禀自由度，理想费米气体的单粒子能级由 $(n_x, n_y, n_z, \sigma = \pm 1)$ 标定¹⁷；二是由于费米子受泡利不相容原理限制， $m_{\vec{n}}$ 的取值不再是 $[0, +\infty]$ 间任意正整数，而是限制在0或1两个取值上。可以写出配分函数：

$$z \equiv \sum_{\{m_{\vec{n},\sigma}\}} e^{-\beta \left(\sum_{\vec{n}} m_{\vec{n}} \epsilon_{\vec{n}} - \mu \sum_{\vec{n}} m_{\vec{n}} \right)} = \sum_{\{m_{\vec{n},\sigma}\}} e^{-\beta \sum_{\vec{n}} m_{\vec{n}} (\epsilon_{\vec{n}} - \mu)} = \prod_{\vec{n},\sigma} [1 + e^{-\beta(\epsilon_{\vec{n}} - \mu)}] \quad (29)$$

巨势函数：

$$\Psi \equiv -k_B T \ln z = -2k_B T \sum_{\vec{n}} \ln [1 + e^{-\beta(\epsilon_{\vec{n}} - \mu)}] = -2k_B T \int d\epsilon D(\epsilon) \ln [1 + e^{-\beta(\epsilon - \mu)}] \quad (30)$$

与(8)相同， $D(\epsilon) = \sum_{\vec{n}} \delta(\epsilon_{\vec{n}} - \epsilon) = \frac{2\pi L^3}{h^3} (2m)^{3/2} \sqrt{\epsilon}$ ，代入(30)，得

$$\begin{aligned} \Psi &= -2k_B T \frac{2\pi L^3}{h^3} (2m)^{3/2} \int d\epsilon \sqrt{\epsilon} \ln [1 + e^{-\beta(\epsilon - \mu)}] \\ &= -2k_B T \frac{2\pi L^3}{h^3} (2m)^{3/2} \frac{2}{3} \beta \int d\epsilon \epsilon^{\frac{3}{2}} \frac{1}{e^{\beta(\epsilon - \mu)} + 1} \end{aligned}$$

定义¹⁸： $Z \equiv e^{\beta\mu}$, $x \equiv \beta\epsilon$ ，定义¹⁹

¹⁷ 而理想玻色气体的单粒子能级由 (n_x, n_y, n_z) 标定，因此对于同一个能级 $\epsilon_{\vec{n}}$ ，玻色子简并度为1，而费米子则为2。

¹⁸ 这个操作在算理想玻色气体的时候就有了。

¹⁹ 这是 $f_\nu(Z) \equiv \frac{1}{\Gamma(\nu)} \int_0^{+\infty} \frac{x^{\nu-1}}{Z^{-1}e^x + 1} dx$ ，和计算玻色气体中定义的 $g_\nu(Z) = \frac{1}{\Gamma(\nu)} \int_0^{+\infty} \frac{x^{\nu-1}}{Z^{-1}e^x - 1} dx$ 是不一样的。

$$f_\nu(Z) \equiv \frac{1}{\Gamma(\nu)} \int_0^{+\infty} \frac{x^{\nu-1} dx}{Z^{-1}e^x + 1} \quad (31)$$

代入 $\lambda_T = \frac{h}{\sqrt{2\pi m k_B T}}$, 整理上述表达式, 有

$$\begin{aligned} \Psi &= -\frac{8}{3} k_B T \frac{L^3}{\sqrt{\pi}} \frac{(2\pi m k_B T)^{3/2}}{h^3} \int dx x^{\frac{3}{2}} \frac{1}{Z^{-1}e^x + 1} = -L^3 2k_B T \lambda_T^{-3} f_{5/2}(Z) \\ \frac{\Psi}{V} &= -2k_B T \lambda_T^{-3} f_{5/2}(Z) \end{aligned}$$

压强很好计算:

$$P = - \left. \frac{\partial \Psi}{\partial V} \right|_{T, \mu} = \frac{2k_B T}{\lambda_T^3} f_{5/2}(z) \quad (32)$$

自然推出 $\frac{PV}{k_B T} = \frac{2V}{\lambda_T^3} f_{5/2}(z)$. 再算一下平均能量²⁰:

$$\bar{E} = - \frac{\partial}{\partial \beta} \ln z = -2 \frac{\partial}{\partial \beta} \lambda_T^{-3} f_{5/2}(Z) = 3k_B T V \lambda_T^{-3} f_{5/2}(Z) \quad (33)$$

我们可以发现一个普适性的式子, 对经典理想气体, 理想玻色气体和理想费米气体都成立

$$\frac{PV}{\bar{E}} = \frac{2}{3} \quad (34)$$

再来计算一下平均粒子数^{21 22}

$$\bar{N} = - \frac{\partial}{\partial \alpha} \ln z = -2V \lambda_T^{-3} \frac{\partial Z}{\partial \alpha} \frac{d}{dZ} f_{5/2}(Z) = 2V \lambda_T^{-3} f_{3/2}(Z) \quad (35)$$

定义粒子数密度 $n \equiv \frac{\bar{N}}{V}$, 有

$$\frac{1}{2} n \lambda_T^3 = f_{3/2}(Z) \quad (36)$$

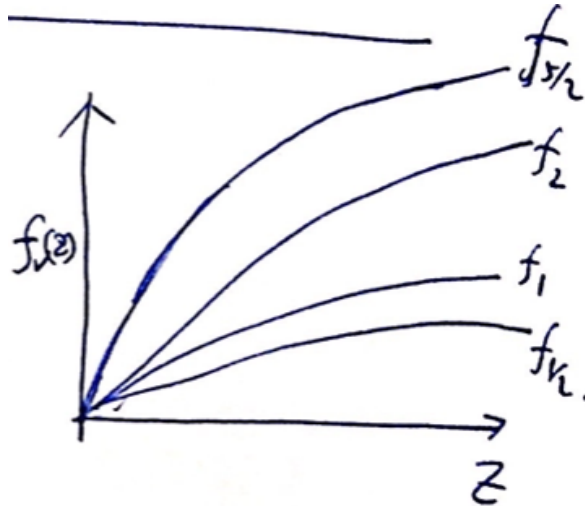
3.3. 高温展开与量子修正

定义 $y \equiv \frac{1}{2} n \lambda_T^3 = f_{3/2}(Z)$. 考虑高温情况, 当 $T \rightarrow \infty$ 时, $\lambda_T \rightarrow 0$, $y = f_{3/2}(Z) \rightarrow 0$. 又根据 $f_\nu(Z)$ 的性质可知, 此时 $Z \rightarrow 0$.

²⁰ 我其实不是很懂这里, 我觉得应该是 $\bar{E} = \frac{3}{2} \times 2k_B T V \lambda_T^{-3} f_{5/2}(Z) - 2\lambda_T^{-3} f_{3/2}(Z)$

²¹ 怕你忘了, $\alpha = -\beta\mu$.

²² 这里用到了 $Z \frac{df_\nu(Z)}{dZ} = f_{\nu-1}(Z)$ ($\nu > 1$), 这与 $g_\nu(Z)$ 是类似的。



我们又知道，当 Z 是一个小量的时候， $f_\nu(Z)$ 可以展开为²³

$$f_\nu(Z) = \sum_{\lambda=1}^{\infty} \frac{(-1)^{\lambda-1}}{\lambda^\nu} Z^\lambda = Z - \frac{Z^2}{2^\nu} + \frac{Z^3}{3^\nu} + \dots$$

代到状态方程里算一下

$$\frac{E}{\frac{3}{2}\bar{N}k_B T} = \frac{PV}{\bar{N}k_B T} = \frac{f_{5/2}(Z)}{f_{3/2}(Z)} = \frac{Z - \frac{Z^2}{2^{5/2}} + \dots}{Z - \frac{Z^2}{2^{3/2}}} = 1 + \frac{1}{2^{5/2}}y + O(y^2)$$

再算一算熵

$$\begin{aligned} S &= \frac{U + PV - \mu\bar{N}}{T} = \frac{5}{2}\bar{N}k_B \frac{f_{5/2}(Z)}{f_{3/2}(Z)} - \bar{N}k_B \ln(Z) \\ &= \frac{5}{2}\bar{N}k_B \left(1 + \frac{1}{2^{5/2}}y\right) - \bar{N}k_B \ln y + \frac{1}{2^{7/2}}\bar{N}k_B y + O(y^2) \end{aligned}$$

其中 $\frac{1}{2^{7/2}}\bar{N}k_B y + O(y^2)$ 是量子修正项。对比玻色气体的熵，发现区别仅在于 y 的一阶项的正负号。这表明在压强相等的条件下，玻色子的量子效应使体积增大，产生排斥作用，这与费米子的量子效应恰恰相反。

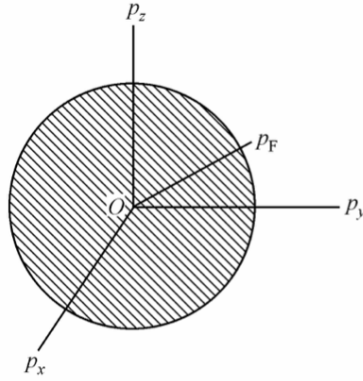
3.4. 零温下的费米面与费米简并压

当 $T \rightarrow 0$ 时， $\beta \rightarrow \infty$ ，则

$$\bar{m}_{\vec{n},\sigma} = \frac{1}{e^{\beta(\epsilon_{\vec{n}} - \mu)} + 1} = \begin{cases} 1 & \epsilon_{\vec{n}} < \mu \\ 0 & \epsilon_{\vec{n}} > \mu \end{cases}$$

然后发现在零温下费米气体在动量空间的分布为一个球，球内全是费米气体，球外没有费米气体，这个球叫费米球，球面叫费米面。

²³ 对比 $g_\nu(Z)$ 的展开式，发现差别无非是偶次项前多了个负号。



由 $m(\varepsilon) = \frac{2D(\varepsilon)}{e^{\beta(\varepsilon-\mu)} + 1}$, 可知在零温下, 且 $\varepsilon < \mu$ 时, 有 $m(\varepsilon) = 2D(\varepsilon)$. 由此可以计算总粒子数²⁴

$$N = \int_0^{\varepsilon_F} d\varepsilon m(\varepsilon) = 2 \int_0^{\varepsilon_F} d\varepsilon D(\varepsilon) = 2 \times \frac{2\pi V}{h^3} (2m)^{3/2} \int_0^{\varepsilon_F} d\varepsilon \sqrt{\varepsilon} = \frac{8\pi V}{3} \left(\frac{2m}{h^2} \right)^{3/2} \varepsilon_F^{3/2}$$

由此可算出费米能 ε_F , 它由粒子数密度 n 完全决定

$$\varepsilon_F = \frac{\hbar^2}{2m} (3\pi^2 n)^{2/3}$$

$$p_F^2 / 2m = \varepsilon_F$$

其中 $\hbar = 2\pi\hbar$. 在零温极限下, $\mu \equiv \varepsilon_F$, 由粒子数密度 n 完全决定。接下来计算零温总能量:

$$\bar{E}_0 \equiv 2 \int_0^{\varepsilon_F} d\varepsilon \varepsilon D(\varepsilon) = \frac{3}{5} N \varepsilon_F$$

推出:

$$\varepsilon_0 \equiv \frac{E_0}{N} = \frac{3}{5} \varepsilon_F$$

计算压强有两种方法, 按照常规做法比较繁琐:

$$P = - \left. \frac{\partial \Psi}{\partial V} \right|_{T, \mu} = \frac{2k_B T}{\lambda_T^3} f_{5/2}(Z) \Big|_{T \rightarrow 0} = \frac{2}{3} \left(\frac{U}{V} \right) \Big|_{T \rightarrow 0} = \frac{2}{5} \left(\frac{N}{V} \right) \varepsilon_F.$$

更简便的方法是利用(34):

$$PV = \frac{2}{3} \bar{E}_0 = \frac{5}{5} N \varepsilon_F$$

这就是费米简并压, 可以发现它并不小: $P \propto n^{5/3}$, 粒子数密度越大, 费米简并压越大。事实上, 费米简并压是保持中子星不塌缩成黑洞的主要力量。

²⁴ 这里用到了 $D(\varepsilon) = \sum_{\vec{n}} \delta(\varepsilon_{\vec{n}} - \varepsilon) = \frac{2\pi L^3}{h^3} (2m)^{3/2} \sqrt{\varepsilon}$.

3.5. 低温极限

根据3.4节的讨论，我们可以得到低温极限²⁵的一种定义： $k_B T \ll \varepsilon_F$ ，这与 $n\lambda_T^3 \gg 1$ 是等价的。我们在 $T \neq 0$ 的低温下， n 不变，当 $T \rightarrow 0$ ， $\lambda_T \rightarrow \infty$ ，则根据(36)， $f_{3/2}(Z) \rightarrow \infty$ ，因此 $Z \rightarrow \infty$ 。 $f_\nu(Z)$ 在 $Z \rightarrow \infty$ 时有以下渐进行为：

$$\begin{aligned} f_{5/2}(Z) &= \frac{8}{15\sqrt{\pi}}(\ln Z)^{5/2} \left[1 + \frac{5\pi^2}{8}(\ln Z)^{-2} + \dots \right] \\ f_{3/2}(Z) &= \frac{4}{3\sqrt{\pi}}(\ln Z)^{3/2} \left[1 + \frac{\pi^2}{8}(\ln Z)^{-2} + \dots \right] \\ f_{1/2}(Z) &= \frac{2}{\sqrt{\pi}}(\ln Z)^{1/2} \left[1 - \frac{\pi^2}{24}(\ln Z)^{-2} + \dots \right] \end{aligned}$$

代入(32)，计算 P 和 \bar{E}

$$\frac{PV}{k_B T} = \frac{2V}{\lambda_T^3} \frac{8}{15\sqrt{\pi}} (\beta\mu)^{5/2} \left[1 + \frac{5\pi^2}{8}(\ln Z)^{-2} + \dots \right]$$

结合(35)，整理得

$$\begin{aligned} PV &= \frac{2}{5} N \mu \left[1 + \frac{5\pi^2}{8} \left(\frac{k_B T}{\mu} \right)^2 + \dots \right] \\ \bar{E} &= \frac{3}{5} N \mu \left[1 + \frac{5\pi^2}{8} \left(\frac{k_B T}{\mu} \right)^2 + \dots \right] \end{aligned}$$

再计算一下 S ：

$$\begin{aligned} S &= \frac{5}{2} \bar{N} k_B \frac{f_{5/2}(Z)}{f_{3/2}(Z)} - \bar{N} k_B \ln Z = \bar{N} k_B \ln Z \left(1 + \frac{1}{2} \pi^2 (\ln Z)^{-2} + \dots \right) - \bar{N} k_B \ln Z \\ &= \frac{1}{2} \pi^2 \bar{N} k_B (\ln Z)^{-1} + O((\ln Z)^{-2}) = \frac{1}{2} \pi^2 N k_B \left(\frac{k_B T}{\mu} \right) + O((\ln Z)^{-2}) \end{aligned}$$

发现当 $T \rightarrow 0$ 时， $S \rightarrow 0$ ，符合热力学第三定律。再计算 N ：

$$N = 2 \frac{V}{\lambda_T^3} f_{3/2}(Z) = \frac{2V}{\lambda_T^3} \frac{4}{3\sqrt{\pi}} (\ln Z)^{3/2} \left[1 + \frac{\pi^2}{8} (\ln Z)^{-2} + \dots \right]$$

粒子数密度 n ：

$$n = \frac{N}{V} = \frac{(2m\mu)^{3/2}}{3\pi^2 \hbar^3} \left[1 + \frac{\pi^2}{8} \left(\frac{k_B T}{\mu} \right)^2 + \dots \right]$$

²⁵ 不是零温极限